

ПРИБЛИЖЕННЫЙ РАСЧЕТ ДОПОЛНИТЕЛЬНОЙ ПОДЪЕМНОЙ СИЛЫ ПРИ ОБДУВКЕ КРЫЛА СТРУЕЙ

от винтов

Е. М. ЗОЛОТЬКО

КРАТКОЕ СОДЕРЖАНИЕ

Анализируется происхождение дополнительной подъемной силы, возникающей при обдувке крыла от тяжеловесных заградителей струй от винтов. Рассматривается схема приближенного расчета подъемной силы со струйным заградителем. Результаты расчета сравниваются с данными эксперимента.

ВВЕДЕНИЕ

При расчете взлетно-посадочных характеристик современных самолетов с ТВД, имеющих большие тяговооруженность, необходимо учитывать дополнительные аэродинамические силы, обусловленные взаимодействием крыла и струи от винтов как при набегании, так и без набегающего потока. Величина этих сил зависит от расположения винтов, скорости полета, а также геометрии системы винт + крыло и может составлять значительную часть общей подъемной силы. В частности, с уменьшением взлетно-посадочных скоростей (что характерно для самолетов УВП) дополнительная сила, обусловленная обдувкой, возрастает, а в случае $V_{\infty} = 0$ (вертикальный взлет и посадка) целиком определяет подъемную силу самолета. Для таких схем самолетов и их режимов полета характерны большие значения коэффициента нагрузки на омываемую винтом площадь, а также высоконесущая конфигурация крыла („стальная“ механизация).

Вопросу влияния обдувки крыла струями от воздушных винтов на его аэrodинамические характеристики посвящено довольно много как отечественных, так и зарубежных работ (см., например, [1–4, 8]), однако почти не разработана способа быстрой и эффективной оценки влияния обдувки на подъемную силу крыла в широком диапазоне коэффициентов нагрузки B .

К первым работам, направленным на создание прикладного метода расчета влияния обдувки, следует отнести выполненные в период интенсивного развития винтовой авиации работы [1] и [3]. В работе [1] был предложен теоретический метод расчета обдувки многомотор-

ного, определяемого по теории идеального прототипера, и к изменению угла атаки вследствие скоса струи от винта. В работе [3] изложены полуэмпирический метод расчета обдувки крыла, основанный также на учете увеличения скоростного напора за винтом. Результаты расчетов по методам [1] и [3] обычно удовлетворительно согласуются для случаев симметричных пилотов ($B < 1$) и крыла с несимметричной или малоисклоненной механизацией. Дополнительный подъем силы, вызванный эффектом обдувки в таких случаях, составляет небольшую величину по сравнению с тягой.

Следует заметить, что в ставшей трендовой схеме представления эффекта обдувки в виде изменения скорости потока и угла атаки крыла (к этой схеме в той или другой степени обращались авторы и более поздних работ) фактически признается, что струя за винтом имеет в поперечном направлении бесконечную протяженность.

В последние 10–15 лет, в связи с интенсивными работами по созданию самолетов УВП и УВГ, было проведено много экспериментальных исследований по влиянию струй двигателей на аэродинамику самолета, в том числе и по влиянию струи от винта на аэродинамику крыла [1, 8]. Некоторые материалы были обобщены в чистоте, по эффективности механизации крыла в струе за винтом, и позволили впоследствии построить полуэмпирические схемы воздействия струй от винтов на аэродинамику крыла в большом диапазоне значений коэффициента нагрузки на омываемую винтом площадь.

В настоящей работе анализируется происхождение сил, возникающих при обдувке крыла струей от винтов, и рассматривается приближенная схема расчета подъемной силы обдуваемого механизированного крыла с учетом конечности ширины струи в широком диапазоне значений коэффициента нагрузки на омываемую винтом площадь. Причем, если в указанных выше линеаризованных методах струя обладала бы бесконечной широтой, а результаты расчета касались распределения в настоящей работе проходит обратная экстраполяция: от узких струй к струям реальной ширины.

I. СУПЕРИНКУЛЯЦИЯ ПРИ ОБДУВКЕ КРЫЛА СТРУЯМИ ОТ ВОЗДУШНЫХ ВИНТОВ

Результаты экспериментальных исследований по влиянию обдувки крыльев на подъемную силу крыла с отключенными механизмами показывают, что дополнительную силу от тяги винта на некоторых режимах значительно часть силы составляет на неко-
торых режимах значительную часть от тяги винта. На фиг. 1 представ-
лены полученные при испытаниях в аэродинамической трубе Т-101 ЦАГИ модели самолета с четырьмя работающими винтами зависимости $\frac{dC}{B^*}$
от величины, обратной коэффициенту нагрузки B^* , для случая $\delta_0 = 45^\circ$

* В настоящей работе относительная интенсивность обдувки определяется, как $q_{\infty} \cdot \frac{4}{\pi D^2}$, где ρ –

и различных углах атаки. Здесь Δc_y — приращение коэффициента подъемной силы от обдувки с исклоненной проекцией тяги винта, $B\bar{F}$ — полезная тяга от обдувки с исклоненной проекцией тяги (при коэффициенте импульса равном единице), $f(z)$ — функция определенного коэффициента k площади крыла;

\bar{F} — относительная тяга винта,

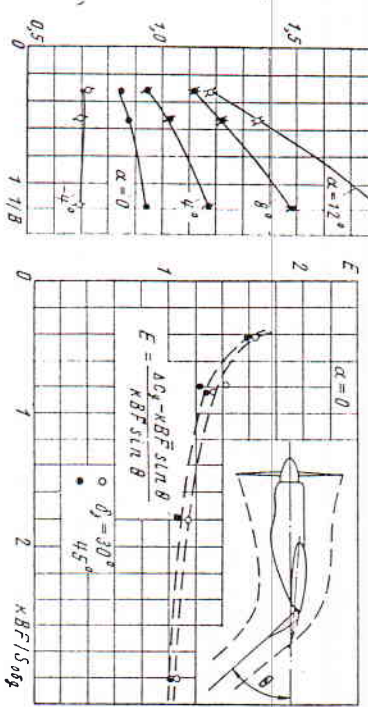
$$\bar{F} = \frac{F}{S} = \frac{\frac{4}{3} D^2}{S},$$

где S — площадь крыла.

Видно, что величина приращения подъемной силы от обдувки значительно преосходит тягу винтов, особенно на больших углах атаки и при малых значениях коэффициента B . В теории струйного закрылка [11] для определения его эффективности часто применяется функция

$$E = \frac{\Delta c_y - c_y \bar{F}_0 \sin \theta}{c_y \bar{F}_0 \sin \theta},$$

представляющая собой отношение аэродинамической (суперциркуляционной) части приращения полезной силы к вертикальной составляющей тяги винта, результаты испытаний с обдувкой крыла струй от винтов для различных углов отклонения закрылков можно представить аналогичным образом в функции величины



Фиг. 1

Фиг. 2

где c_y^0 — подъемная сила крыла без обдувки;
 Δc_y^r — дополнительная подъемная сила, обусловленная суперциркуляцией;
 $\Delta c_{y\rho}$ — дополнительная подъемная сила от вертикальной составляющей реакции откликнутой струи.

Для определения составляющей от реакции струи обратимся к фиг. 4.

Представим, что на крыле вдоль размаха установлено большое количество винтов малого диаметра, имеющих суммарную тягу $N\rho$, где N — число винтов, ρ — тяга винта. Струйные струи от винтов, омывающие крыло, попарно поступают к касательной к поверхности механизма и отбрасывают винты почти по касательной к поверхности закрылка. В таком случае на крыло действует, кроме обычной подъемной силы без обдувки и вертикальной составляющей, обусловленной воздействием струи на набегающий поток (суперциркуляция) аналогично струйному закрылку. Тогда полную подъемную силу c_y при обдувке крыла можно представить (как это обычно делается в теории крыла со струйным закрылком) в виде трех составляющих (фиг. 3):

$$c_y = c_y^0 + \Delta c_{y\rho} + \Delta c_{y\rho},$$

где c_y^0 — подъемная сила крыла без обдувки;
 $\Delta c_{y\rho}$ — дополнительная подъемная сила, обусловленная суперциркуляцией;
 $\Delta c_{y\rho}$ — дополнительная подъемная сила от вертикальной составляющей реакции откликнутой струи.

Фиг. 3

* При малых значениях B и больших углах отклонения закрылок некоторое увеличение подъемной силы может быть связано с ликвидацией отрывов.

** К аналогии обдувки крыла со струйным закрылком обращался Маккорник [5].

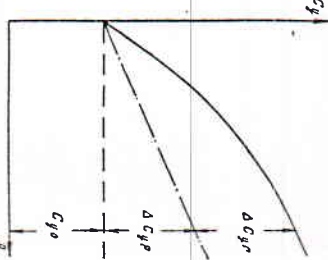
$\frac{kBF}{S_{\text{об}}}$, эквивалентный коэффициенту импульса c_y , причем для определения θ (суммарного угла отклонения струи от винтов по отношению к вектору скорости набегающего потока) использовать полученные на той же модели результаты статических испытаний ($V_{\infty} = 0$). На фиг. 2 приведена такая зависимость $E = f(c_y)$ для случая обдувки крыла струей от винтов при двух углах отклонения закрылок, где видно, что характер изменения величины дополнительной подъемной силы такой же, как и в случае струйного закрылка.

Изучительные (по сравнению с тягой) дополнительные приrostы подъемной силы в ходе протекания крыльев $E = f(c_y)$ в таком случае, как показывает опыт, с другим законом, например, $c_y = f(z)$ при изменении c_y позволяют предположить, что при обдувке крыла с отклоненными механическими штифтами достаточно малого диаметра отброшенная и отклоненная механизированной струйной струи за винтом воз действует на набегающий поток подобно тому, как это происходит в струйном закрылке*. Учитывая, что действительная ширина струи за винтом хотя и конечна, но все же представляет достаточно большое относительную величину (например, по сравнению с хордой закрылка), реальная случай можно трактовать как экстраполяцию рассматриваемой ниже схемы.

Значительные (по сравнению с тягой) дополнительные приросты подъемной силы в ходе протекания крыльев $E = f(c_y)$ в таком случае, как показывает опыт, с другим законом, например, $c_y = f(z)$ при изменении c_y позволяют предположить, что при обдувке крыла с отклоненными механическими штифтами достаточно малого диаметра отброшенная и отклоненная механизированной струйной струи за винтом воз действует на набегающий поток подобно тому, как это происходит в струйном закрылке*. Учитывая, что действительная ширина струи за винтом хотя и конечна, но все же представляет достаточно малую относительную величину (например, по сравнению с хордой закрылка), реальная случай можно трактовать как экстраполяцию рассматриваемой ниже схемы.

2. АНАЛИЗ И СХЕМА РАСЧЕТА АЭРОДИНАМИЧЕСКИХ СИЛ, ВОЗНИКАЮЩИХ ПРИ ОБДУВКЕ КРЫЛА СТРУЯМИ ОТ ВИНТОВ

Представим, что на крыле вдоль размаха установлено большое количество винтов малого диаметра, имеющих суммарную тягу $N\rho$, где N — число винтов, ρ — тяга винта. Струйные струи от винтов, омывающие крыло, попарно поступают к касательной к поверхности механизма и отбрасывают винты почти по касательной к поверхности закрылка. В таком случае на крыло действует, кроме обычной подъемной силы без обдувки и вертикальной составляющей, обусловленной воздействием струи на набегающий поток (суперциркуляция) аналогично струйному закрылку. Тогда полную подъемную силу c_y при обдувке крыла можно представить (как это обычно делается в теории крыла со струйным закрылком) в виде трех составляющих (фиг. 3):

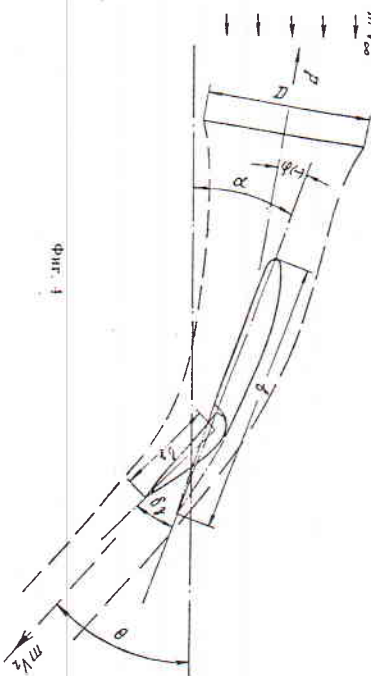


* При малых значениях B и больших углах отклонения закрылок некоторое увеличение подъемной силы может быть связано с ликвидацией отрывов.

** К аналогии обдувки крыла со струйным закрылком обращался Маккорник [5].

Изучительные (по сравнению с тягой) дополнительные приросты подъемной силы в ходе протекания крыльев $E = f(c_y)$ в таком случае, как показывает опыт, с другим законом, например, $c_y = f(z)$ при изменении c_y позволяют предположить, что при обдувке крыла с отклоненными механическими штифтами достаточно малого диаметра отброшенная и отклоненная механизированной струйной струи за винтом воз действует на набегающий поток подобно тому, как это происходит в струйном закрылке*. Учитывая, что действительная ширина струи за винтом хотя и конечна, но все же представляет достаточно малую относительную величину (например, по сравнению с хордой закрылка), реальная случай можно трактовать как экстраполяцию рассматриваемой ниже схемы.

Импульс в струе за винтом, отбрасываемой крылом, вообще говоря, равен $mV_z = m(V_\infty + 2v)$, где m — массовый расход воздуха через диск пропеллера, V_z — скорость в струе далеко за винтом, v — скорость индуцируемая винтом в плоскости его диска. Однако, чтобы использовать схему Спенса [6], для определения реакции струи и коэффициента импульса C_r необходимо брать избыточный импульс $m_2 v = P$,



Фиг. 4

а остальную часть полного импульса в струе за винтом отнести к погонажному потоку. Тогда вертикальная составляющая силы реакции струи

$$Y_p = kNP \sin \Theta,$$

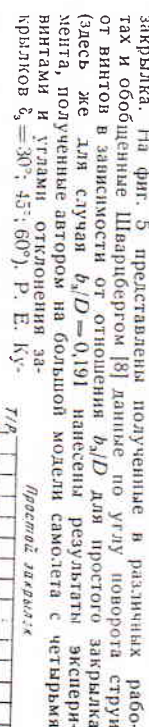
где Θ — суммарный угол поворота струи крылом с отклоненной механизацией, отсчитываемый от направления набегающего потока; k — коэффициент восстановления тяги, учитывающий потери на винт + крыло с отклоненной механизацией в статических условиях.

В безразмерном виде вертикальная составляющая реакции струи выглядит как $c_{yp} = kBf \sin \Theta$.

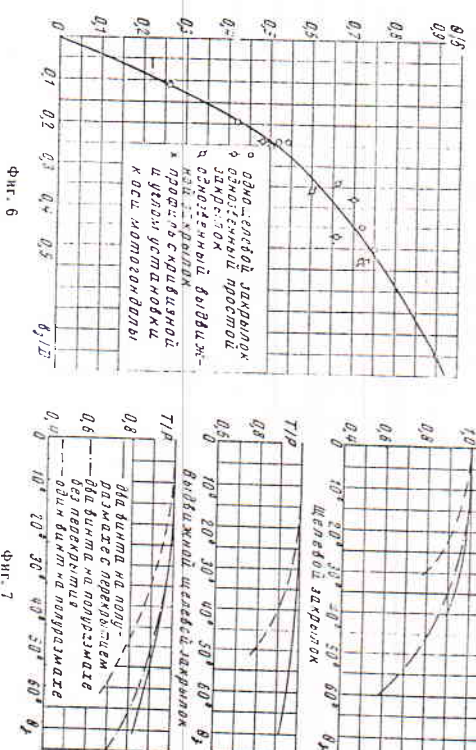
При определении угла Θ (см. фиг. 4) в первом приближении можно считать, что он остается таким же, что и в статических условиях.

Тогда он будет складываться из угла наклона струи за винтом к направлению набегающего потока α_c и угла поворота струи крылом и закрылком (Θ_{kp} и Θ_{kz}). Если принять наклон струи $\alpha_c \approx \alpha + \beta$ (что справедливо при малых углах атаки α и углах заклинения моторного отопителя хорды крыла β), то $\Theta = \Theta_{kp} + \Theta_{kz} + \alpha + \beta + \varphi$.

Как показывают экспериментальные данные, угол поворота струи от винтов с помощью механизации крыла зависит от отношения хорд закрылка к диаметру винта b/D , угла отклонения закрылка и, менее сильно, от типа



Фиг. 5



Фиг. 6

Фиг. 7

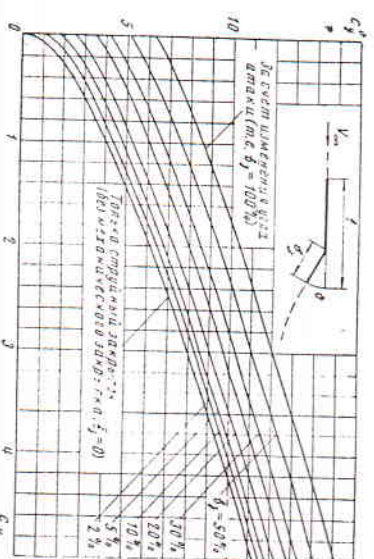
ном [5] была сделана попытка обобщить данные по углу поворота струи от винтов, представив их в виде зависимости $\Theta/\delta = f(b_a/D)$ для всех типов закрылок (фиг. 6), причем производная Θ/δ определялась по линейной части кривой $\Theta = f(\delta_a)$. Однако сравнение данных фиг. 5 и 6 показывает, что при выполнении Купом обработки всех винтов Θ/δ величина Θ_3 для простого закрылка при $\delta_a < 30^\circ$ получается несколько заниженной. Поэтому в практических расчетах для случая простого закрылка нужно пользоваться данными фиг. 5, а при других типах закрылка (если отсутствуют данные вида графика фиг. 5) можно пользоваться фиг. 6. Этой же фигурой можно пользоваться для определения угла поворота струи крылом Θ_{kp} (для случаев $\alpha - \alpha_c \neq 0$), придав за b_a/D величину b/D .

$$\Theta_{kp} = \frac{\Theta}{\delta} (\alpha - \alpha_c) \approx -\frac{\Theta}{\delta} \beta.$$

Потери тяги струи на попорог при отсутствии набегающего потока в зависимости от различных углов отклонения струи, типа механизации, а также числа и расположения винтов на полуразмахе крыла получены экспериментальным путем в ходе работ и обобщены Р. Е. Купом (фиг. 7), который представил их в виде зависимости $\frac{T}{T_\infty} = f(\beta)$. Если предположить, что потери тяги на попорог в статических условиях при боль-

ниих углах Θ тяги, или к потокам тяги при наличии набегающего потока, то графиком фиг. 7 можно пользоваться для определения коэффициента восстановления тяги k .

В основу определения Δc_y^* в принятой схеме с отклонением струи от винта можно положить теорию реактивного* закрылка Струса [6]***.



Фиг. 8

Тогда по аналогии со случаем двумерного реактивного закрылка полное приращение подъемной силы от обдувки по всему размаху для крыла бесконечного удлинения

$$\Delta c_{y, \text{общ}} = \Delta c_y^* \vartheta + \Delta c_y^* \alpha,$$

где ϑ — угол отклонения струи относительно хорды профиля, Δc_y^* , Δc_y^* — приращение пропорциональной силы по углу атаки и углу отклонения струи с учетом реакции струи (запишите величины Δc_y^* , Δc_y^* в зависимости от c_p и относительной хорды закрылка b_s , можно найти по фиг. 8 (заятой из [6]), исключив из полной производной $c_y(c_p, b_s)$ ее величину при $c_p = 0$). Для определения Δc_y^* можно воспользоваться также (до величин $c_p \approx 7\text{--}15^\circ$) экспоненциальной формулой [7]

$$\Delta c_y^* = 1,152 \sqrt{c_a} + 1,106 c_a + 0,051 c_a \sqrt{c_a} [1/\text{рад}].$$

Здесь при вычислении коэффициента c_a избыточный импульс в струе от винтов (т.г.) отнесен к площади ковша, обслуживаемой обдувкой.

$$c_a = \frac{kNP}{q_\infty S_{\text{бок}}} = kB \frac{F}{S_{\text{бок}}}.$$

* Реактивным (в отличие от струйного) закрылком иногда называют механизмы, усиленный стекловолокном кронштейнами.

** Следует заметить, что несогласия на линеаризацию эта теория, по заключению Струса,ает уловом вторичного совпадение с экспериментом идти до больших углов отклонения струи ($\vartheta \approx 60^\circ$).

$$\Delta c_{y,T} = \Delta c_y^* \sin \vartheta + \Delta c_y^* \frac{\alpha}{57,3} - kB \frac{F}{S_{\text{бок}}} \sin \Theta,$$

где α — угол атаки крыла в градусах.

С учетом толщины профиля и несущих свойств данного крыла конечного размаха, как это обычно делается для струйного закрылка,

$$\Delta c_{y,T} = \left(\Delta c_y^* \sin \vartheta + \Delta c_y^* \frac{\alpha}{57,3} - kB \frac{F}{S_{\text{бок}}} \sin \Theta \right) \left(1 + \bar{c} \right) \frac{c_s^*}{2\pi} 57,3,$$

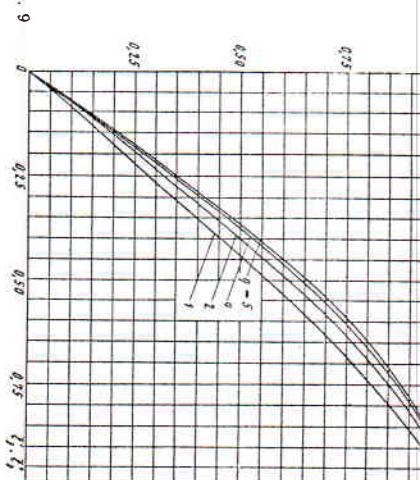
где \bar{c} — относительная толщина профиля, c_s^* — произвольная подъемная сила крыла по углу атаки без обдувки [$1/\text{рад}$].

Таким образом, для случая обдувки крыла по всему размаху

$$c_y = c_{y,0} + \left(\Delta c_y^* \sin \vartheta - \Delta c_y^* \frac{\alpha}{57,3} - kB \frac{F}{S_{\text{бок}}} \sin \Theta \right) \left(1 + \bar{c} \right) \frac{c_s^*}{2\pi} 57,3 + kB F \sin \Theta.$$

Для случая обдувки крыла по части размаха предлагается использовать функцию разряда циркуляции, полученную в работе [9] в виде зависимости $f(t_s)$ (фиг. 9) на основе расчетов [10] распределения циркуляции по крылу с различными сужениями и закрылками, отклоненными на части размаха. Функция представляет собой приращение подъемной силы при отклонении закрылков на части размаха крыла

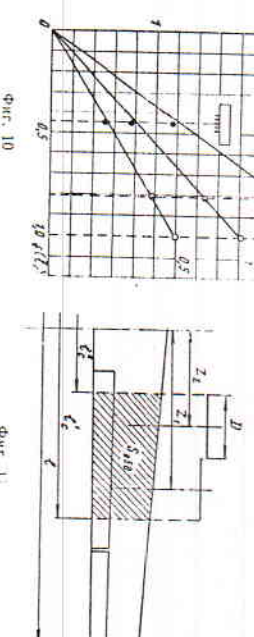
Фиг. 9



к приращению подъемной силы при отклонении закрылков по всему размаху. Использование автором работы [9] этой функции для учета разрывов циркуляции воль размаха (с отключенными закрылками по частям размаха) показало хорошее совпадение с данными эксперимента независимо от типа закрылка.

Эти же функции, как показывает опыт, употребительны для расчета разрывов и приложения в случае струйного и реактивного закрылок. Особенно для прямых крыльев с малым сужением. Для примера на фиг. 10 приведены приставленные в виде записей $\Delta c_{\text{ст}}$ от $f(\bar{l}_c)^*$ результаты испытаний струйного закрылка при различных значениях c_0 . Как видно, зависимость струйного закрылка при различных значениях c_0 от силы от функции $\bar{f}(l_c)$ очень близка к линейной. Таким образом, в случае обдувки по части размаха, очевидно, можно воспользоваться результатами испытаний струйного закрылка при различных значениях c_0 .

Как видно, зависимость струйного закрылка при различных значениях c_0 от силы от функции $\bar{f}(l_c)$ очень близка к линейной. Таким образом, в случае обдувки по части размаха, очевидно, можно воспользоваться результатами испытаний струйного закрылка при различных значениях c_0 . Как видно, зависимость струйного закрылка при различных значениях c_0 от силы от функции $\bar{f}(l_c)$ очень близка к линейной. Таким образом, в случае обдувки по части размаха, очевидно, можно воспользоваться результатами испытаний струйного закрылка при различных значениях c_0 .



Фиг. 10

Фиг. 11

Некоторые трудности возникают при определении эффективного размаха крыла, обслуживаемого обувью. Вообще говоря, на размах струи от винга, сходящей с задней кромки закрылок, влияет несколько факторов:

- 1) некоторое сужение струи при увеличении коэффициента нагрузки B ;
- 2) расширение вследствие перераспределения импульса по ширине струи из-за взаимодействия с набегающим потоком. Расширение тем больше, чем больше коэффициент нагрузки B (из-за увеличения разности скоростей в струе и набегающем потоке);
- 3) расширение (расщепление*) струи на нижней поверхности крыла и, по-видимому, сужение на верхней поверхности;

4) некоторое сужение струи вдоль размаха (на верхней и нижней поверхностях крыла в разных сторонах в случае одиночных винтов (закрученная струя)).

Как видно, эти факторы, влияющие на размах сбрасываемой струи, действуют в противоположных направлениях и в какой-то степени компенсируют друг друга. Кроме того, последствия ошибки в выборе эффективного размаха сходящей струи уменьшаются благодаря тому,

* Для струного закрылка вместо \bar{l}_c подется относительный размах струйной пелены \bar{l}_e .

что при обратной схеме расчета величина $\Delta c_{\text{ст}}$ растет не пропорционально функции $\bar{f}(l_c)$. Действительно, поскольку при заданной тяге определена величина коэффициента c_0 , обратно пропорциональна пелены. Умножив значение размаха на коэффициент импульса c_0 , мы тем самым уменьшим значение размаха импульса импульса c_0 . Физически это означает, что при перераспределении заданного суммарного импульса вдоль размаха (например, при увеличении размаха) $\Delta c_{\text{ст}}$ растет благодаря уменьшению импульсных потерь, но в то же время несколько падает из-за увеличения потокового импульса c_0 , и, следовательно, ослабление воздействия струи на набегающий поток. В итоге получается, например, что при ошибке в эффективном размахе струи на 5% сила в определении $\Delta c_{\text{ст}}$ составляет лишь 2,5%. Поэтому для приближенного расчета за эффективный размах сбрасываемой струи, очевидно, можно принять размах крыла, затененный винтами. Тогда функцию $f(l_c)$ в общем случае расположения винтов можно записать как $f(l_c) = \bar{f}(\bar{l}_c) - f(\bar{l}_e)$, где \bar{l}_e — координата расположения винта без промежутка между ними и известны координаты расположения осей горизонтальных двигателей по размаху, то

$$\bar{l}'_e = \frac{z_1 + \frac{D}{2}}{l_2^2}, \quad \bar{l}''_e = \frac{z_2 - \frac{D}{2}}{l_2^2},$$

где z_1, z_2 — положение оси соответственно внешней и внутренней горизонтальных двигателей по размаху.

В результате выражение для определения польемной силы при обдувке крыла винтами по части размаха выглядит следующим образом:

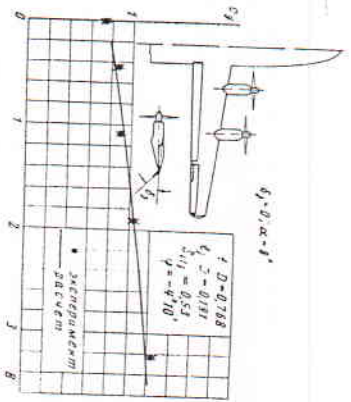
$$c_y = c_{y0} + \left[\Delta c_y^* \sin \theta + \Delta c_y^* \frac{\sigma}{57.3} - kB \frac{F}{S_{\text{об}}} \sin \theta \right] (1 + \bar{c}_y c_y \frac{57.3}{2\pi} f(\bar{l}_e) + kB \bar{F} \sin \theta).$$

3. РЕЗУЛЬТАТЫ РАСЧЕТА И СРАВНЕНИЕ ИХ С ДАННЫМИ ЭКСПЕРИМЕНТА

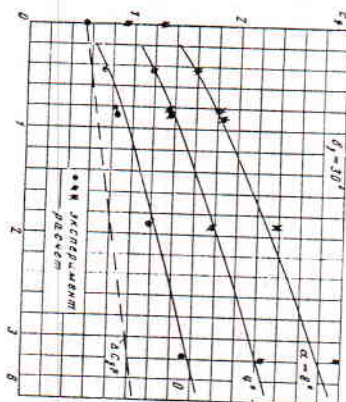
Следует заметить, что в самолетных конструкциях используются винты довольно больших размеров (например, по сравнению с хордой закрылка) и, как указано в разделе 1, применение рассмотренного схемы представления обдувки к крыльям с реальным соотношением b/D надо расширять как эмпиративно на случай широкой струи. Для определения эффективности этой схемы расчеты были взяты имеющиеся экспериментальные материалы, полученные на больших моделях в наружной аэродинамической трубе Т-101 ЦАГИ, а также опытные данные, полученные Р. Е. Куном для обдувки крыла по всему размаху в большом диапазоне коэффициента нагрузки B .

На фиг. 12—14 сравниваются результаты расчета с экспериментальными данными, полученными автором на модели с четырьмя одинаковыми винтами и простым закрылком для углов атаки $\alpha = 0^\circ, 4^\circ, 8^\circ$, углов отклонения закрылка $\delta_3 = 0^\circ, 30^\circ, 45^\circ$ в диапазоне коэффициента нагрузки $B = 0 \rightarrow 3.2$. Схема модели и геометрические параметры приведены на фиг. 12. На фиг. 13 пунктирной линией при $x = 0$ показано приращение коэффициента c_y обусловленное только проекцией реакции струи на направление полетной силы.

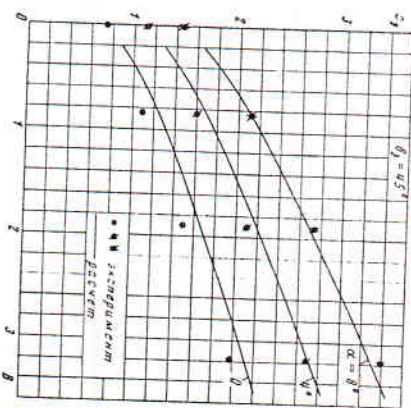
На фиг. 15 и 16 сравниваются результаты расчета с опытными данными ЦАГИ для модели с четырьмя соосными винтами и двухщелевым закрылком при $\delta_3 = 25^\circ, 45^\circ$ и $\alpha = 0^\circ$ и 8° . Для случаев обдувки по всему размаху с центральной схемой были использованы опытные данные, полученные Р. Е. Куном (фиг. 17) на полу модели крыла



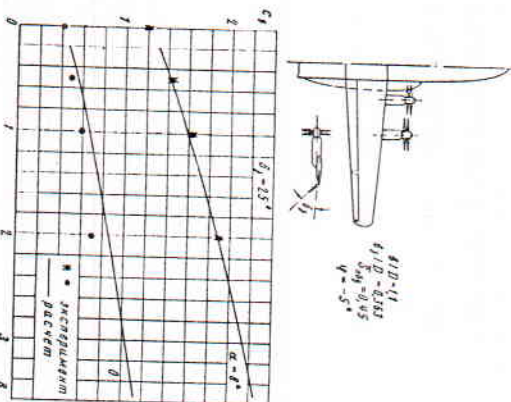
Фиг. 12



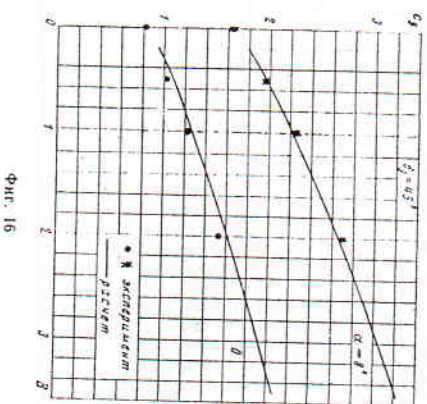
Фиг. 13



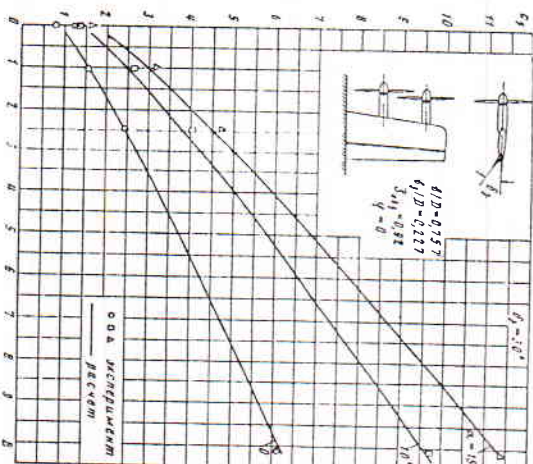
Фиг. 14



Фиг. 15



Фиг. 16



Фиг. 17

с двумя винтами и простым закрылком в диапазоне значений коэффициента нагружки B от 0 до 10. Расчет проведен для трех углов атаки ($\alpha = 0^\circ, 10^\circ, 15^\circ$) и угла отклонения закрылка $\delta_a = 30^\circ$. Следует заметить, что при $\alpha = 15^\circ$ и отсутствии обдувки ($B = 0$) экспериментальная кривая $c_y = f(\alpha)$ резко падала вниз в результате срыва потока с края крыла (экспериментальная точка — $c_y = 1,27$). Поэтому для расчета c_y при $B > 0$ в качестве c_{y0} было взято значение $c_y = 1,65$ (пунктирный треугольник), полученное при $\alpha = 15^\circ$ линейным продолжением кривой $c_y = f(\alpha)$.

Для всех остальных случаев, иллюстрируемых кривой $c_y = f(\alpha)$, при расчете в качестве коэффициента подъемной силы без обдувки c_{y0} , а также величины производной c_{y0}' (при $\delta_a = 0$) были взяты их экспериментальные значения для данной модели. Углы поворота струй закрылком Θ_3 для моделей, представленных на фиг. 12 и 17, определялись с помощью кривых фиг. 5, а для модели с двухдвигательным закрылком (см. фиг. 15) — с помощью графика фиг. 6. Угол поворота струй крылом Θ_4 для всех случаев определялся с помощью фиг. 6. При расчете подъемной силы до больших значений коэффициента нагружки B (см. фиг. 17) использовались соответствующие расчетные данные Сленса [17].

Анализ материалов, представленных на фиг. 12–17, показывает, что использованная схема расчета позволяет удовлетворительно для

* При отсутствии опытных данных эти характеристики можно получить расчетом путем.

практических целей оценить дополнительную подъемную силу, получаемую при обдувке края с отклоненными закрылками различного типа в широком диапазоне коэффициентов нагружки B на ометаемую плошадь.

В заключение следует отметить, что рассмотренная схема расчета является приближенной, поскольку в ней не учтены отражение тактического фактора, как положение винта относительно крыла по вертикали, удаление винта от крыла по горизонтали (при малых расстояниях плоскости винта от крыла необходимо учитывать обратное влияние крыла на винт), не учтено влияние закрутки цепности струй в случае схем с одиночными винтами.

Если в отношении закрутности струи можно предполагать, что она влияет в основном на распределение циркуляции по размаху, а на суммарных характеристиках подъемной силы не скажется значительно, то в отношении влияния положения винта, чтобы определить границы применимости схемы, нужно иметь достаточно большое количество экспериментальных данных.

Очевидно, что рассмотренная схема расчета может быть использована тем более успешно, чем меньше диаметр винта по отношению к хорде крыла и чем ближе ось гондолы двигателя к хорде крыла.

При больших отношениях $D \gg 1$ и для $\frac{V_\infty + 2\varphi}{V_\infty} \approx 1$ (слабонагруженные винты), по-видимому, можно пользоваться линеаризованными методами [2] и [3].

Несмотря на неучет некоторых факторов, рассмотренная схема расчета может быть использована для практической оценки дополнительной подъемной силы при обдувке механизированного крыла струями от винтов в обычном диапазоне углов атаки и в большом диапазоне значений коэффициента нагружки на ометаемую винтом плошадь.

ВЫВОДЫ

1. При обдувке крыла с отклоненной механизацией струями от воздушных винтов для самолетов обычной схемы при наличии набегающего потока возникает дополнительная подъемная сила обусловленная эффектом суперциркуляции. На некоторых режимах ее величина может значительно превышать тягу винтов. Эта дополнительная сила зависит от тяги винтов, эффективности механизации и от относительного размера обдуваемой части крыла.

2. Рассмотренная схема расчета может быть использована для практических оценок дополнительной подъемной силы при обдувке механизированного крыла струями от винтов на взлетно-посадочных режимах полета.

ЛИТЕРАТУРА

1. Ведров В. С. и Остоставский И. В. Расчет обдувки монопланов крыльев с вилками перед крылом. Труды ЦАГИ, вып. 202, 1935.
2. Остоставский И. В. и Шарохин И. И. Влияние обдувки крыла винтами на летные характеристики самолета ЦАГИ. Технический отчет № 9, 1943.
3. Smith R. and Davies H. Estimation of increase in lift due to slipstream. R. & M., No 1788, British A. R. C., 1937.
4. Dunn R. E. and Draper J. W. Investigation of the aerodynamic characteristics of a model wing-propeller combination and of the wing and propeller separately at angles of attack up to 90°. NACA Report, 1263, 1936.